

Supplementary Materials

**Thermally Switchable Electrically Conductive Thermoset rGO/PK Self-Healing Composites**

Esteban Araya-Hermosilla <sup>1</sup>, Alice Giannetti <sup>2</sup>, Guilherme Macedo R. Lima<sup>3</sup>, Francesco Picchioni<sup>3</sup>, Virgilio Mattoli<sup>1</sup>, Ranjita K. Bose<sup>3</sup>, and Andrea Pucci<sup>2,4\*</sup>

- <sup>1</sup> Center for Micro-BioRobotics, Istituto Italiano di Tecnologia Viale Rinaldo Piaggio 34, Pontedera (PI) 56025, Italy; esteban.araya@iit.it (E.A.-H.); virgilio.mattoli@iit.it (V.M.)
  - <sup>2</sup> Dipartimento di Chimica e Chimica Industriale, Università di Pisa, Via Moruzzi 13, 56124 Pisa, Italy.
  - <sup>3</sup> Department of Chemical Product Engineering, ENTEG, University of Groningen, Nijenborgh 4, 9747AG Groningen, The Netherlands; f.picchioni@rug.nl (F.P); g.de.macedo.rooweder.lima@rug.nl (G.M.R.L); r.k.bose@rug.nl (R.K.B)
  - <sup>4</sup> CISUP, Centro per l'Integrazione della Strumentazione dell'Università di Pisa, Lungarno Pacinotti 43, 56126 Pisa, Italy
- \* Correspondence: andrea.pucci@unipi.it (A.P.).  
Tel.: +39 0502219270 (A.P.).

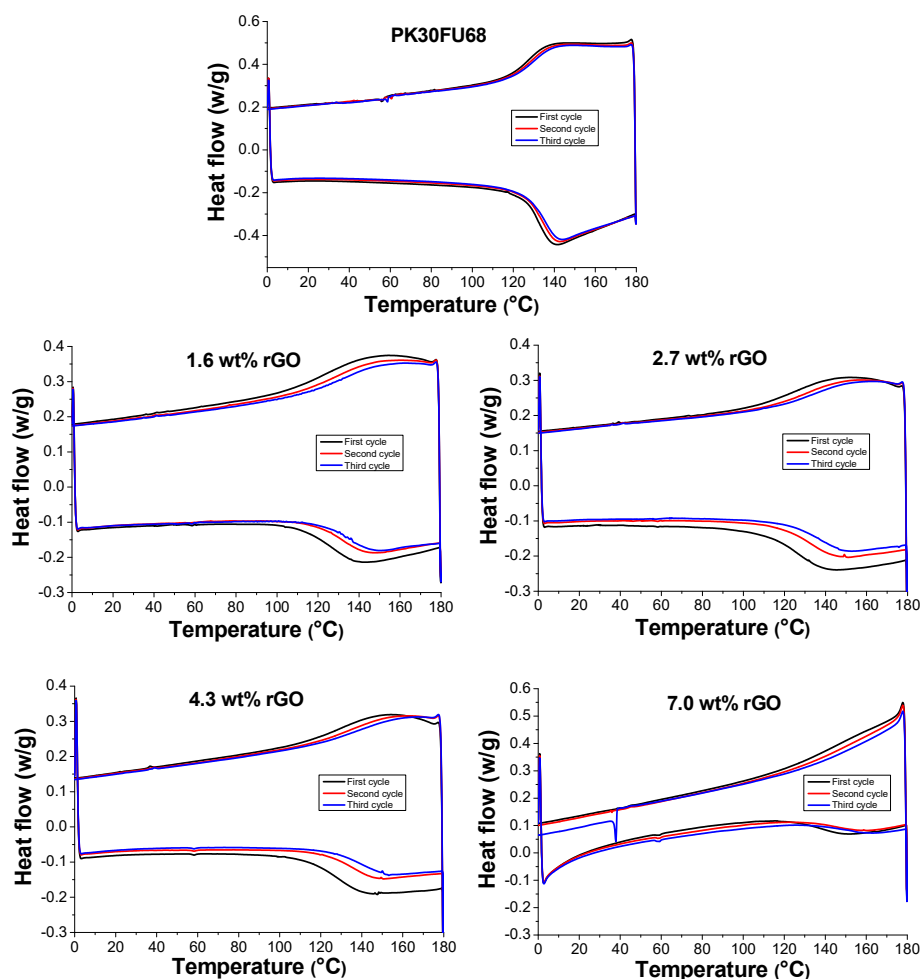


Figure S1. DSC thermal cycles of PKFU/BM/rGO nanocomposites at different rGO content (wt%)

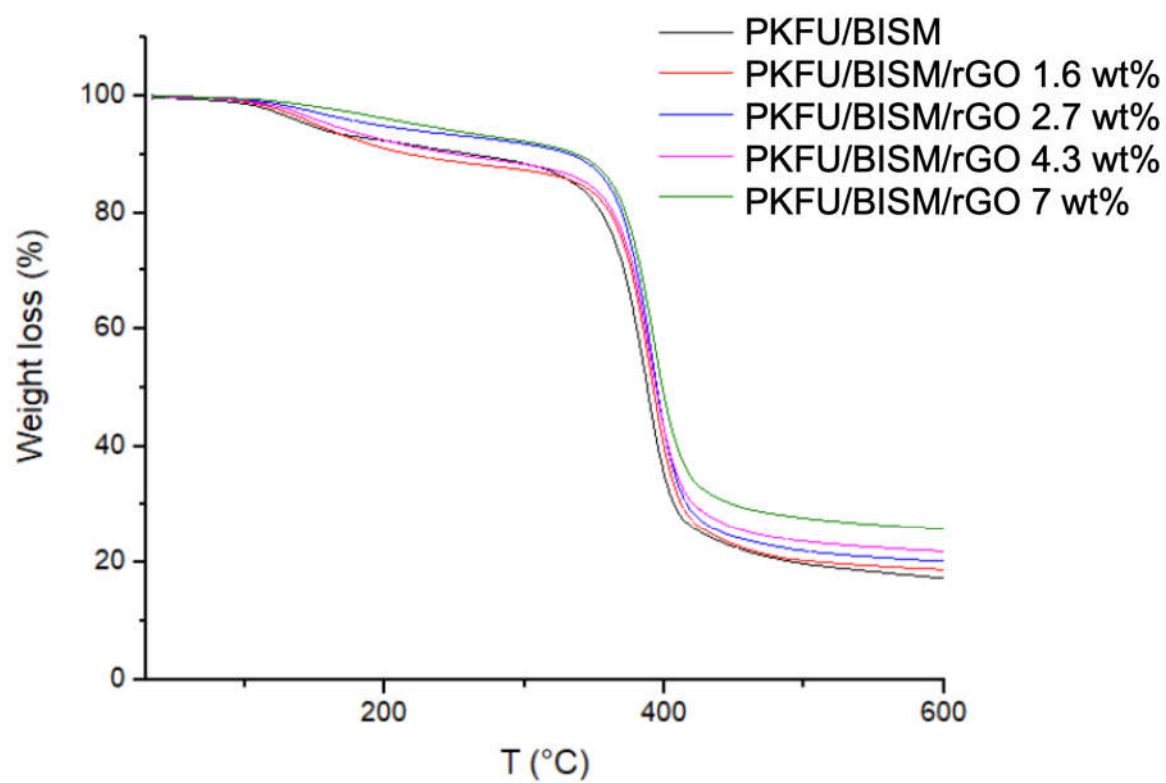


Figure S2. TGA curves of PKFU/BM/rGO nanocomposites at different rGO content (wt%)